

8. ANEXO 1



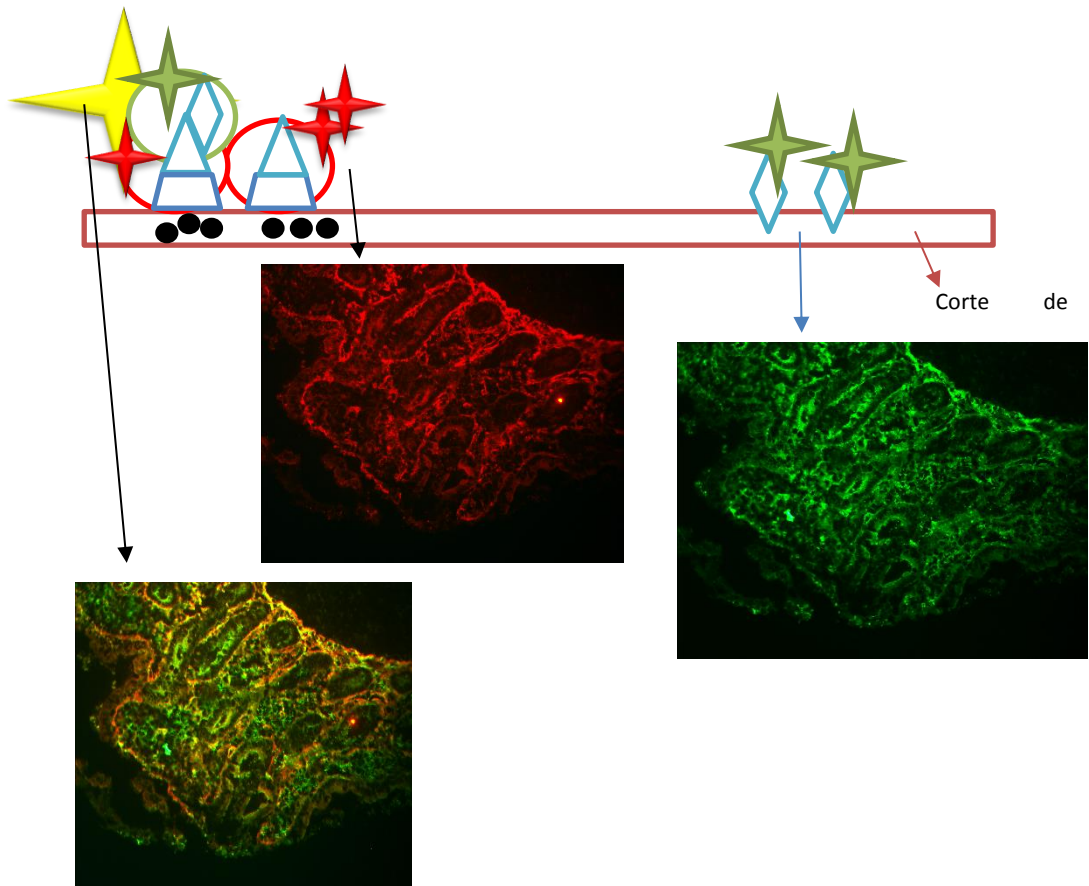
Figura 9. Microscopio de fluorescencia Motic BA400.



Figura 10. Microscopio confocal Espectral Leica TCS-SP5.



Figura 8. portaobjetos "SuperFrostPlus" de 10 pocillos en cada cual se colocarán cortes seriados de BI.










-  = TG2 → transglutaminasa tisular
-  = Anticuerpo monoclonal de ratón anti-TG2, Ac **CUB7402**
-  = Anticuerpo de conejo anti Ig de ratón, Ac **ALEXA**
-  = Anticuerpo de conejo anti-IgA, Ac **FITC**
-  = Fluorescencia verde
-  = Fluorescencia roja
-  = IgA extracelular colocalizará con TG2; es decir, cuando se da la superposición de ambas fluorescencias por presencia de depósitos de TTG.

Figura 11. Esquema de la doble tinción.

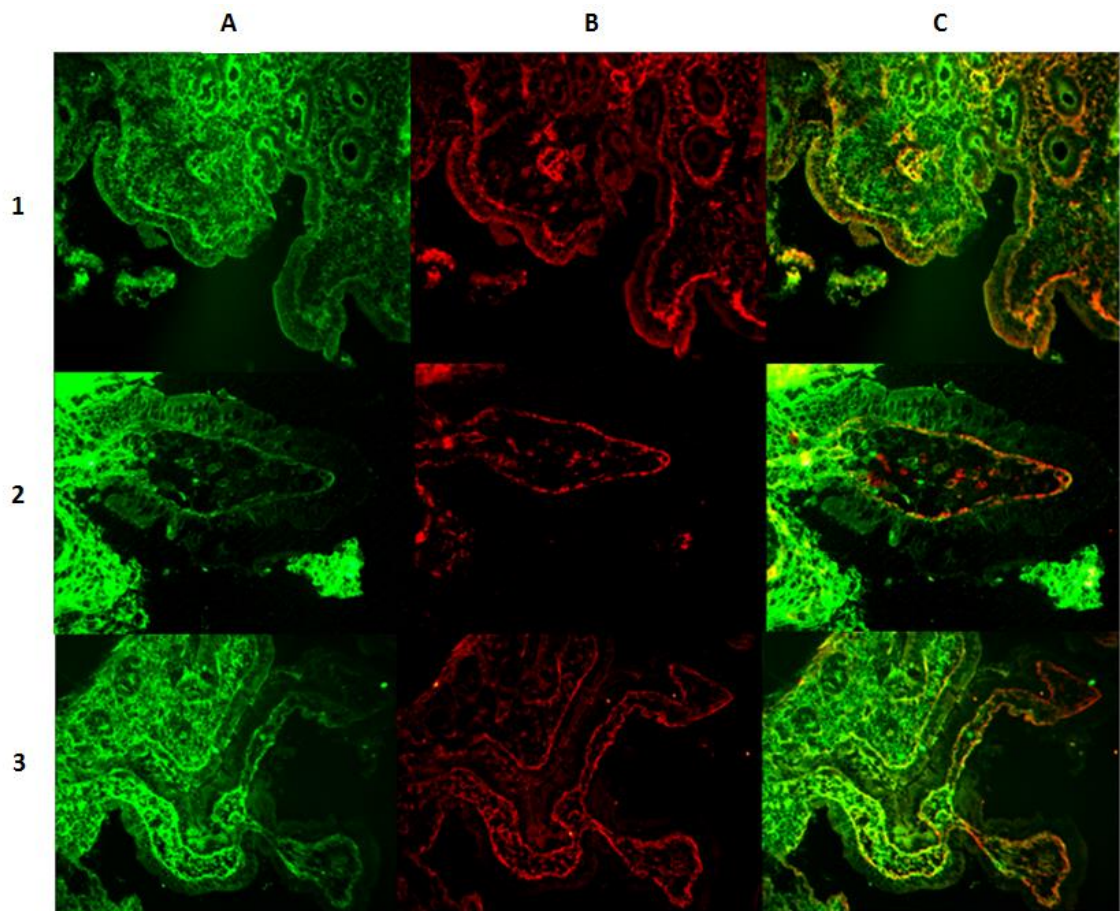


Figura 15. Cortes de mucosa intestinal de pacientes con EC no tratada y atrofia de la mucosa tipo Marsh III (1), Marsh II (2), Mars0-1 (3). Se observa presencia de depósitos TG2 (amarillo-anaranjado) en las localizaciones específicas: por debajo de la membrana basal, y alrededor de las criptas y vasos sanguíneos (1, 2 y 3). (A) Corte bajo luz de longitud de onda de 495nm para la detección de IgA anti-TG2. (B) Corte bajo luz de longitud de onda de 552 nm para la detección de la TG2. (C). Colocalización entre la imagen bajo filtro azul y la imagen bajo filtro verde.

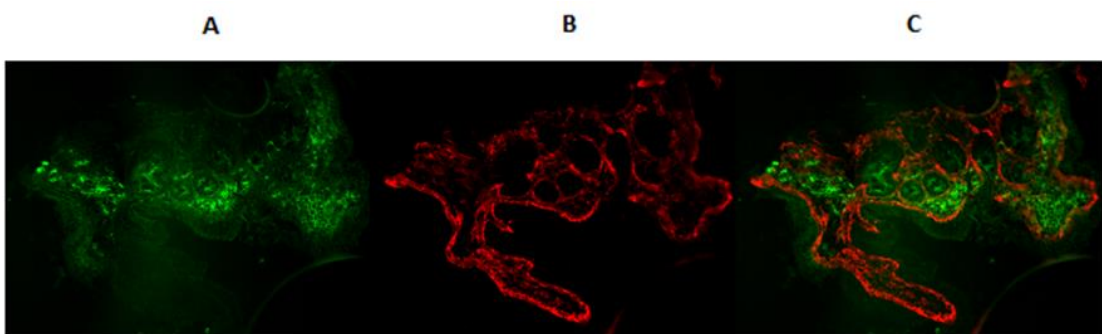


Figura 16. Cortes de mucosa intestinal de pacientes no celíacos e histología Marsh 0-1. Ausencia de depósitos TG2-IgA. (A) Corte bajo luz de longitud de onda de 495nm para la detección de IgA anti-TG2. (B) Corte bajo luz de longitud de onda de 552 nm para la detección de la TG2. (C). Colocalización entre la imagen bajo filtro azul y la imagen bajo filtro verde.